基于 DDPG 的 RIS-UAV 辅助 MEC 系统波束赋形算法

高 航¹ GAO Hang

摘要

针对现有的无人机(UAV)与智能反射面(RIS)辅助移动边缘计算(MEC)系统的波束赋形方案中的能量效率(EE)较低的问题,文章提出了一种基于深度确定性策略梯度(DDPG)的 RIS-UAV 辅助 MEC 系统波束赋形算法。该算法首先利用全连通神经网络(FCNN)实现的 Actor 网络和 Critic 网络;其次使用加性噪声进行训练,通过提供更快更平滑的收敛来提高 DDPG 的效果;最后针对模型收敛速度慢的问题,设计数据驱动经验回放机制(PER),提升 DDPG 算法在负载调度场景的收敛速度。仿真实验结果表明,所提出的算法,优于传统 CCCP 算法,具备更快收敛速度和更好稳定性,并能提高系统的 EE。

关键词

无人机;智能反射面;移动边缘计算;波束赋形;深度确定性策略梯度算法

doi: 10.3969/j.issn.1672-9528.2025.08.019

0 引言

随着移动互联网和物联网的迅速发展,传统云计算模式因计算延迟高、网络带宽瓶颈和数据隐私问题,无法满足低延迟、高可靠性和用户体验的需求。移动边缘计算(MEC)通过将计算和存储功能移至网络边缘,显著降低计算延迟,提高实时性和可靠性。

无人机(UAV)可以灵活部署 MEC 服务器,为偏远地 区提供可靠计算服务。可重构智能表面(RIS)技术通过调 整单元相移优化信号传播特性,进一步提高 MEC 系统性能。

无人机凭借其高移动性,打破了传统无线网络的不灵活特性。然而,UAV-MEC 网络在高机动性情况下必须应对复杂且时变的衰落信道,尤其在城市环境中,这对无线传输产生不利影响。因此,开发新技术重新配置无线信道以提升UAV-MEC 网络的计算能力是必不可少的。

在这种背景下,移动边缘计算(MEC)似乎通过增强网络边缘的计算能力来应对这些问题,使得 UE 能够通过任务卸载来极大地缓解其计算压力,然后以高可靠性和低延迟接收结果。同样,Sun 等人[1] 在工业物联网场景中,将人工智能方法与无人机 -MEC 网络相结合。尽管 UAV-MEC 网络在各种通信应用中得到了广泛的研究,但它仍然面临着许多挑战或问题。因此,开发一种新技术来重新配置无线信道是势在必行的。

可重构智能表面(RIS),也称为智能反射表面(IRS), 其有望设计无线电传播环境,受到了学术界和工业界的广泛

1. 沈阳航空航天大学电子信息工程学院 辽宁沈阳 110000

研究[2]。

RIS 已与多种通信技术相结合,如 NOMA^[3]、同时无线信息和功率传输(SWIPT)^[4]、双向中继^[5] 和物理层安全^[6]。此外,无人机与 RIS 相遇属于一种新模式^[7],Li 等人^[8] 和 Fang等人^[9]研究了 RIS 设计改进的通信安全问题。Liu 等人^[10]的工作旨在借助基于机器学习方法的 RIS 来提高无人机的服务质量,其中同时考虑了无人机运动和 RIS 相移。Wei 等人^[11]通过仔细设计 RIS,使正交频分多址(OFDMA)系统中的和速率最大化。在最坏情况信噪比(SNR)最大化的目标下,工作^[12]揭示了航空 RIS 和传统地面 RIS 之间的性能差异。接下来,Khalili 等人^[13]和 Pan 等人^[14]分别关注 RIS 辅助异构通信网络和 RIS 辅助太赫兹通信。Hua 等人^[15]提出了一种具有多个 RIS 的共生无人机。RIS 通信系统,每个 RIS 在无人机的帮助下将自己的数据发送到基站,同时辅助无人机的数据传输。

然而,在实际问题中,当地面用户卸载任务量很有可能会超过 UAV 所能承担的负荷。基于这些观点,针对无人机和 RIS 联合设计的 MEC 网络系统,本文提出采用一种面向系统的 EE 的优化方案。本文的主要贡献总结如下:

本文提出了一种使用深度确定性策略梯度(DDPG)网络来解决无人机机载物联网平台中的 RIS 辅助干扰抑制问题的方法。该方法利用全连通神经网络(FCNN)实现的 Actor 网络和 Critic 网络,使用加性噪声进行训练,并通过提供更快更平滑的收敛来提高 DDPG 的效果,尤其有利于更大的RIS。本文还提出了两个基线来进一步验证所提出的方法的优点:无 RIS 和 RIS 配置。

1 系统模型

1.1 整体架构

本文考虑在 MEC 网络中使用无人机和反射表面(RIS)进行中继传输的问题。具体而言,本文考虑一个 MEC 网络,其中无人机(UAV)配备 $L \geq 2$ 个天线,RIS 附着在建筑表面,由 RIS 控制器操控。UAV 充当服务器以执行计算;同时还充当中继,将计算任务从一组单天线 AP(发射机 S)传递到配备 MEC 服务器的远程地面单天线 UE(接收机 D),在此期间,带有 $M_y \times M_z$ 反射元素的均匀矩形阵列(URL)RIS 协助从 UAV 到 AP 的中继传输过程, M_y 和 M_z 分别表示沿 y 轴和 z 轴的元素。具体结构如图 1 所示。

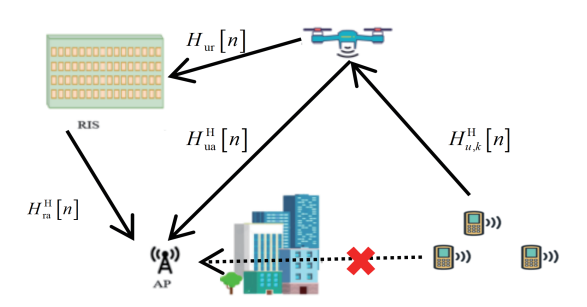


图 1 MEC 网络中使用无人机和反射表面 (RIS) 进行中继传输的示意图

本文假设 UE-RIS 通信链路和 UE-AP 通信链路由于距 离长而被障碍物严重阻塞。在这种情况下, 传统的无线通 信技术可能无法满足网络性能需求。因此,本文考虑利用 RIS 中的反射来增强信号强度和质量,从而提高网络性能。 为了优化网络性能,本文将网络周期时间T分成N个相等 的时隙,每个时隙的大小为 δ_t 。本文将时隙集表示为 γ , 其中 $|\mathcal{N}| = N$, UE 集表示为 \mathcal{K} , 其中 $|\mathcal{K}| = K$, $|\cdot|$ 表示集的基 数。 $\boldsymbol{\theta}_{k}[n] = \operatorname{diag}(e^{\mathrm{j}\theta_{k,1}[n]}, e^{\mathrm{j}\theta_{k,2}[n]}, ..., e^{\mathrm{j}\theta_{k,M}[n]})$ 表示第 $K \uparrow UE$ 在 时隙 n 中的反射系数矩阵,相移满足 $0 \le \theta_{k,m}[n] < 2\pi$ 。假 设每个元素的反射幅度等于1,在三维笛卡尔坐标系中, 第 K o UE 的位置为 $(w_k, 0)$, 其中 $w_k = (x_k, y_k)$ 。因此,本 文获得 UAV 的位置($q[n], h_u$), AP 的位置($w_a, 0$)和 RIS 的参 考位置 (w_r,h_r) ,其中 $q[n]=(x_u[n],y_u[n])$, $w_a=(x_a,y_a)$, $w_r = (x_r, y_r)$, 表示水平位置; h_u 表示 UAV 的高度; h_r 表示 RIS 的高度。因高路径损耗,本文忽略了 RIS 多次反应的信 号功率。假设所有信道都经历了准静态平坦衰落, 且所有信 道的信道状态信息(CSI)都是完全已知的。在这个设置中, 本文希望通过调整反射系数矩阵 k[n] 来最大化网络性能。

1.2 UAV 运动模型

UAV 的有限调度时间为 $N\delta_t$ s,分为以 n 为索引的 N 个时隙, $n=1,2,\cdots,N_o$ 一个时隙持续 δ_t ,此时较短,因此可以将 UAV 视为每个时隙静止。UAV 从预定的起始位置 $q[0]=[x_u[0],y_u[n]]^T$ 飞行到预定的终止位置 $q[N]=[x_u[n],y_u[n]]^T$ 。

每个时隙 T 的 UAV 速度和加速度分别用 $V[n] = [V_x[n], V_y[n]]^T$ 和 $A[n] = [A_x[n], A_y[n]]^T$ 表示。UAV 遵循一些机动性约束:

$$q[n+I] = q[n] + V[n]\delta_{t} + \frac{1}{2}A[n]\delta_{t}^{2}, \forall n$$
 (1)

$$q[N] = q_F \tag{2}$$

$$V[n+1] = V[n] + A[n]\delta_t, \forall n$$
(3)

$$||q[n]-q[n-1]|| \le \delta_t V_{\text{max}}, n = 2, 3, ..., N$$
 (4)

式中: V_{max} 是 UAV 的最大速度。

RIS 黏附在建筑物的外表面上,该建筑物位于 xz 平面上,并与 x 轴对齐。RIS 是一种反射能量的智能表面,由 $M = M_y M_x$ 个反射单元组成,这些反射单元组成了一个均匀矩形阵列(URA),同时还有用于控制每个单元相移的控制器。RIS 的作用是通过改变反射单元的相位来控制入射信号的幅度和方向。每个时隙 n, RIS 上的相移矩阵 $\theta_k[n] = \mathrm{diag}(e^{j\theta_{k,1}[n]}, e^{j\theta_{k,2}[n]}, \dots e^{j\theta_{k,M}[n]})$,相移满足 $0 \le \theta_{k,m}[n] < 2\pi$ 。相移矩阵 $\theta_k[n]$ 表示 UE k 在时隙 n 中的反射系数矩阵,用于调整反射单元的相位。其中, $\theta_{k,m}$ 表示位于 RIS 的第 M_y 行和第 M_x 列的第 m 个反射单元的相位。RIS 的右下角是 RIS 的第一个元素,其坐标为 $q_R = [x_R, y_R, z_R]^{\mathrm{T}}$ 。意味着 RIS 的第一个反射单元位于坐标[x_R, y_R, z_R]。通过控制每个反射单元的相位,RIS 可以实现对入射信号的精确控制和调整。

1.3 信号传输与接收模型

本小节主要包含信号传输和信号接收的信道增益模型。

假设 LoS 通道主导无人机 -RIS 链路。UE k 和 UAV 之间的信道矩阵为 $H^{H}_{u,k}[n] \in \mathbb{C}^{|\times L}$; UAV 和 RIS 之间的信道矩阵为 $H^{H}_{ur}[n] \in \mathbb{C}^{|\times L}$; RIS 和 AP 之间的信道矩阵为 $H^{H}_{ra}[n] \in \mathbb{C}^{|\times L}$; UAV 和 AP 之间的信道矩阵为 $H^{H}_{ua}[n] \in \mathbb{C}^{|\times L}$ 。本文考虑 RIS-UAV 链路(RU 链路)的 LoS 信道,UE-UAV 链路的 Rician 衰落信道。

RU 链路每个时隙中的信道为:

$$H_{\rm ur}[n] = \sqrt{\frac{\beta_0}{\|q[n] - w_r\|^2 + (h_u - h_r)^2}} \overline{H}_{\rm ur}^{\rm Los}[n]$$
 (5)

式中: β_0 表示参考距离为 1 m 时的平均信道功率增益,接收阵列响应 $\overline{H}^{Los}_{ur}[n] = A_{R,r}[n]A^{\mu}_{T,u}[n]$ 。其中, $A^{\mu}_{T,u}[n]$ 示与无人机到 RIS 的偏离角(AoD)有关的阵列响应:

$$A_{T,u}^{H}[n] = \left[1, e^{-j\frac{2\pi}{\lambda}d\phi_{ur}[n]}, \dots, e^{-j\frac{2\pi}{\lambda}(L-1)d\phi_{ur}[n]}\right]^{T}$$
(6)

式中: $\phi_{\text{ur}} = \frac{[x_r - x_u[n]]}{\sqrt{||q[n] - w_r||^2 + (h_u - h_r)^2}}$ 表示从 UAV 到 RIS 的信号的 AoD 的余弦; d 表示天线间距; λ 表示载波波长。

 $A_{R,r}[n]$ 表示 RIS 处的接收阵列响应:

$$\mathbf{A}_{R,r}\left[\mathbf{n}\right] = \left[1, e^{-j\frac{2\pi}{\lambda}d_{y}\phi_{wt}\left[n\right]}, \dots, e^{-j\frac{2\pi}{\lambda}\left(M_{y}-1\right)d_{y}\phi_{wt}\left[n\right]}\right]^{T}$$

$$\otimes \left[1, e^{-j\frac{2\pi}{\lambda}d_{z}\Omega_{wt}\left[n\right]}, \dots, e^{-j\frac{2\pi}{\lambda}\left(M_{z}-1\right)d_{z}\Omega_{wt}\left[n\right]}\right]^{T}$$

$$(7)$$

$$\sin\theta_{\rm ur}[n] = \frac{[h_u[n] - h_r]}{\sqrt{\|q[n] - w_r\|^2 + (h_u - h_r)^2}}$$
(8)

$$\sin\varphi_{\rm ur}[n] = \frac{[x_r - x_u[n]]}{\sqrt{(x_r - x_u[n])^2 + (y_r - y_u[n])^2}}$$
(9)

$$\cos\varphi_{\rm ur}[n] = \frac{[y_r - y_u[n]]}{\sqrt{(x_r - x_u[n])^2 + (y_r - y_u[n])^2}}$$
 (10)

假设 UE-UAV 链路、AU 链路和 AR 链路信道由 Rician 信道链路主导。因此,

$$h_i[n] = \sqrt{\beta_0 d_i^{-\alpha_i}[n]} \tilde{h}_i[n] \tag{11}$$

式中: β₀ 是参考距离为1m时的平均信道功率增益; $i \in \{\{u, k\}, \{ua\}, \{ra\}\}$ 是由 UE-UAV 链路、UAV-AP 链路和 RIS-AP 链路组成的索引集; $\alpha_i \in (2,4)$ 是路径损耗指数值。 $d_i[n]$ 是每个通道的距离。

$$d_{u,k}[n] = \sqrt{\|q[n] - w_k\|^2 + h_u^2}$$
 (12)

$$d_{ua}[n] = \sqrt{\|q[n] - w_a\|^2 + h_u^2}$$
 (13)

$$d_{\rm ra}[n] = \sqrt{\|w_r - w_a\|^2 + h_r^2} \tag{14}$$

式中: $\tilde{h}_i[n]$ 代表 Rician fading

$$\tilde{h}_{i}[n] = \sqrt{\frac{\beta_{i}}{1 + \beta_{i}}} \bar{h}_{i}^{\text{LoS}}[n] + \sqrt{\frac{1}{1 + \beta_{i}}} \hat{h}_{i}^{\text{NLoS}}[n]$$
 (15)

式中: β_i 代表 Rician 因子。 $\overline{h}_i^{\text{LoS}}[n]$ 代表 LoS 元素。

$$\overline{h}_{u,k}^{\text{LoS}}[n] = \left[1, e^{-j\frac{2\pi}{\lambda} d\phi_{u,k}[n]}, ..., e^{-j\frac{2\pi}{\lambda}(L-1) d\phi_{u,k}[n]}\right]^{T}$$
(16)

$$\overline{h}_{\mathrm{ua}}^{\mathrm{LoS}}[n] = \left[1, \int e^{-j\frac{2\pi}{\lambda}d\phi_{\mathrm{ua}}[n]}, \dots, e^{-j\frac{2\pi}{\lambda}(L-1)d\phi_{\mathrm{ua}}[n]}\right]^{T}$$
(17)

$$\begin{split} \overline{h}_{rn}^{LoS}\left[n\right] = & \left[1, e^{-j\frac{2\pi}{\lambda}d_{y}\phi_{n}\left[n\right]}, \dots, e^{-j\frac{2\pi}{\lambda}\left(M_{y}-1\right)J_{y}\phi_{n}\left[n\right]}\right]^{T} \otimes \\ & \left[1, e^{-j\frac{2\pi}{\lambda}d_{x}\Omega_{m}\left[n\right]}, \dots, e^{-j\frac{2\pi}{\lambda}\left(M_{z}-1\right)J_{z}\Omega_{m}\left[n\right]}\right]^{T} \end{split}$$

式中: $\phi_{u,k}[n] = \frac{[x_u[n] - x_k]}{\sqrt{\|q[n] - w_r\|^2 + (H_u - h_r)^2}}$ 表示从UE k 到 UAV

的信号的 AoA 的余弦,
$$\phi_{ua}[n] = \frac{[x_a - x_u[n]]}{\sqrt{\|q[n] - w_a\|^2 + h_u)^2}}$$
表示从

UAV 到 AP 的信号的 AoD 的余弦; $\Phi_{ra}[n] = \sin \theta_{ra}[n] \cos \varphi_{ra}[n]$, $\Omega_{ra}[n] = \sin \theta_{ra}[n] \sin \varphi_{ra}[n]$, $\theta_{ra}[n]$ 和 $\varphi_{ra}[n]$ 表示从 RIS 到 AP 的信号的垂直和水平到达角(AoD)。

$$\sin\theta_{\rm ra}[n] = \frac{[h_r]}{\sqrt{\|w_a - w_r\|^2 + h_r^2}} \tag{19}$$

$$\sin\varphi_{\rm ra}[n] = \frac{[x_a - x_r]}{\sqrt{(x_a - x_r)^2 + (y_a - y_r)^2}} \tag{20}$$

$$\cos\varphi_{\rm ra}[n] = \frac{[y_a - y_r]}{\sqrt{(x_a - x_r)^2 + (y_a - y_r)^2}}$$
(21)

1.4 计算卸载模型

为了协调边缘计算的过程,本文使用了一个专用的时隙 划分协议,将每个时隙划分为总共2K个子时隙。前面的K个子时隙用于将 UE 的任务依次卸载给 UAV,每个大小为 $\tau_{\nu}^{0}[n]$: 后面的 K 个子时隙用于 UAV 将 UE 接收到的任务的 一部分传递给 AP,每个大小为 $\tau_k^R[n]$ 。每个时隙的处理延迟 要小于等于 δ_t , 即 $\sum_{k=1}^K \tau_k^0[n] + \sum_{k=1}^K \tau_k^R[n] \le \delta_t$ 。其中, UAV接 收到的 UE k 任务分为两部分,一部分用于 UAV 计算,另一 部分转发给 AP 执行。UAV 充当解码转发(DF)中继,解码 和重新编码的处理延迟是一个时隙, 即 δ , 因此 UAV 当前时 隙中接收到的任务可以在本地计算和/或在下一个时隙交付。 第一个时隙仅用于将任务从 UE 卸载到 UAV, 最后一个时隙 仅用于 UAV 和 AP 的任务计算,即 $\tau_k^R[1] = 0$, $\tau_k^R[N] = 0$, $\tau_{\nu}^{0}[N] = 0$ 。本文用 s_{ν} 表示在 UE k 处具有零均值和单位方差 的信息承载信号, p_t 表示 UE 的传输功率, $n \in \mathbb{C}^{L \times 1}$ 表示满足 $n\sim C\mathcal{N}(0,\sigma^2\mathbb{I}_{\ell})$ 的 UAV 处的信号,其中 σ^2 是高斯白噪声功率。 因此,从 UE k 到 UAV 的接收信号 $y_k[n] \in \mathbb{C}^{L \times 1}$ 的计算公式为 $y_k[n] = \sqrt{p_t} h_{u,k}[n] s_k + n_{\circ}$

本文用 $\mathbf{u}_{k}^{\mathsf{H}}[n] \in \mathbb{C}^{L^{\mathsf{M}}}$ 表示检测向量,也称为接收波束形成 向量,以检测和恢复 UE k 的信号。因此, UE k 的恢复信号 为 $\hat{s}_k = u_k^H[n]y_k[n]$ 。因此,UAV 上 UE k 的接收信噪比为:

$$\gamma_{u,k}[n] = \frac{p_t \left| \mathbf{u}_k^{\mathrm{H}}[n] H_{u,k}[n] \right|^2}{\sigma^2 \left\| \mathbf{u}_k^{\mathrm{H}}[n] \right\|^2}$$
(22)

在从 UAV 到 AP 的信号传输过程中,本文考虑 UAV 到 AP的信号传输过程中3个组件的级联,包括UAV-AP链路、 UAV-RIS 链路和 RIS-AP 链路。本文推导出 UAV 到 AP 的 UE k 信号为 $Y_k[n] = (H_{ua}^H[n] + H_{ra}^H[n]\Theta_k[n]H_{ur}[n])w_k[n]\tilde{s}_k + n$ 。其中, \tilde{s}_k 表示具有零均值和单位方差的信息承载信号; $w_k[n] \in \mathbb{C}^{L \times 1}$ 表示相应的波束形成向量; $n\sim C\mathcal{N}(0,\sigma^2)$ 表示 AP 处的噪声。 UE k 在 AP 处的接收 SNR 的计算公式为

$$\gamma_{a,k}[n] = \frac{\left| \left(H_{ua}^{H}[n] + H_{ra}^{H}[n] \Theta_{k}[n] H_{ur}[n] \right) w_{k}[n] \right|^{2}}{\sigma^{2} + \left\| H_{ua}[n] + u_{k}^{H}[n] H_{ra}[n] \right\|^{2}}$$
(23)

本文用 B 表示通信带宽。每个时隙中 UAV 从第 K 个 UE 接收的任务比特数为 $I_{u,k}^o[n] = \tau_k^o[n]B\log_2(1+\gamma_{u,k}[n])$ 。

因此,每个时隙中 UAV 传递给 AP 的 UE k 的任务比 特数为 $l_{a,k}^R[n] = \tau_k^R[n]B\log_2(1+\gamma_{a,k}[n])$ 。设 $l_{u,k}^{comp}[n]$ 表示满足最大 计算能力约束的时隙 n 中 UE k 在 UAV 上的计算任务比特 数,即 $\sum_{k=1}^{\kappa} I_{u,k}^{\text{comp}}[n] c_u \le F_u^{\text{max}} \delta_i$,其中 c_u 是 UAV 上一位计算所 需的 CPU 周期, F_{y}^{max} 是 UAV 可以提供的最大 CPU 频率。 设 c_a 和 F_u^{max} 为 AP 上一位计算所需的 CPU 周期和最大 CPU 频率。本文得到 AP 的计算约束为 $\sum_{t=1}^{K} l_{ak}^{R}[n] \mathbf{c}_{a} \leq \mathbf{F}_{a}^{\max} \delta_{t}$ 。为避

免 UAV 和 AP 的任务积压导致严重的延迟问题,本文假设 当前时隙中接收到的任务比特数不会超过下一个时隙中可 承受的执行能力。请注意,这项工作也可以很容易地扩展 到延迟容忍的情况,该情况允许任务积压,只需稍作更改, 而不会由于仿射约束而影响本文提出的算法。因此,本文 获得约束为:

$$1_{u,k}^{O}[n] \le 1_{u,k}^{R}[n+1] + 1_{u,k}^{comp}[n+1], n = 1, ..., N-1$$
 (24)

 $\mathcal{O}_{n,k}^{loc}[n]$ 是在第 $K \wedge UE$ 上本地计算的任务比特数,系 统在每个时隙中完成的任务比特数由卸载比特数和在第 K 个 UE 在本地计算的任务比特数所组成。因此, 在时隙 n 处, 本文的目标是最大限度地提高 RIS 辅助的无人机 MEC 系 统的能效,以增加系统完成的任务比特总量。比特总量可 定义为:

$$L[n] = \sum_{k=1}^{K} \left(l_{u,k}^{\text{loc}}[n] + l_{u,k}^{O}[n] \right)$$
 (25)

记任务期间第K个 UE 的最小任务比特数为 L_i ,则

$$\sum_{n=1}^{N} \left(1_{u,k}^{\text{loc}} [n] + 1_{u,k}^{o} [n] \right) \ge L_{i}$$
 (26)

1.5 能耗模型

在第n个时隙, 第K个 UE 的任务卸载能耗可以表示为 $E_{uk}[n] = p_{uk}[n]t$, 其中 $p_{uk}[n]$ 表示 UE 的传输功率 UE k 消耗 的局部计算能量可以表示为[16]:

$$E_{u,k}^{\text{com}}\left[n\right] = \frac{k_{u,k} \left(\frac{\log \left[n\right]}{u_{u,k}}\right]^{3}}{t^{2}}$$
(27)

$$E_{U}^{\text{com}} = \sum_{k=1}^{K} \frac{k_{U} \left(\frac{1}{a_{n}k} [n] \right)^{3}}{t^{2}}$$
 (28)

UAV 的飞行能耗计算为 $E_U^{\text{fly}} = t \left(g_1 v^3 [n] + \frac{g_2}{v[n]} \right)$, 其中 $\theta_1 \pi \theta_2$

是与 UAV 规格相关的两个参数。则总能耗包括所有 UE 的能 耗和 UAV 的能耗为:

$$E[n] = \sum_{k=1}^{K} (E_{u,k}[n] + E_{u,k}^{\text{com}}[n]) + E_{U}^{\text{com}} + E_{U}^{\text{fly}}$$
 (29)

定义能量效率 (energy efficiency, EE) 表示单位能量消 耗下所完成的计算比特数,用于衡量计算能力和能耗的关系, 其表达式为:

$$EE = \frac{\sum_{n=1}^{N} L[n]}{\sum_{n=1}^{N} E[n]}$$
(30)

2 算法设计

2.1 优化问题提出

现有的文献往往过于注重系统的 SE 却忽略了系统的 EE。然而忽略系统的 EE 会存在一些缺陷,这样会使得无人 机的续航以及物联网设备所运行的时间受限[17]。

传统的 RL 往往适用于动作空间和样本空间较小且离散 的情况。然而类似 RIS 辅助的 UAV 通信的复杂任务往往有 很大的状态空间和连续的动作空间, 尤其是输入数据为图像

等高维度数据时, RL 很难处理此类任务^[18]。然而 DDPG (deep deterministic policy gradient) 算法是一种在连续动作空间中工 作的强化学习算法, DDPG 通过引入经验同放缓冲区和目标 网络,能够提高学习的稳定性和效率,特别适合本问题的求 解。

基于上述的模型, 本文将能源效率定义为任务周期内 完成的任务比特总量与总能耗的比率,本文的目标是通过 联合优化检测向量 $\mathbf{u}_{k}^{\mathsf{H}}[\mathbf{n}]$, 波束形成向量 $\mathbf{w}_{k}[\mathbf{n}]$, 时隙划分 $\{\tau_k^0[n], \tau_k^R[n]\}$, 相移 $\theta_{km}[n]$, UE 本地任务比特数 $l_{wk}^{loc}[n]$, UAV 的计算比特数 $I_{n,k}^{o}[n]$ 和无人机的轨迹g[n],来最大化 UE 之间 的能源效率。

因此, RIS 辅助的 UAV 系统的能效最大化问题定义的数 学模型为:

s.t.

$$0 \le \theta_{k,m}[n] < 2\pi, \forall k, m, n \tag{32}$$

$$\tau_k^0[N] = 0, \tau_k^R[1] = 0, \tau_k^R[N] = 0, \forall k$$
 (33)

$$\tau_k^0[n] \ge 0, \tau_k^R[n] \ge 0, \forall k, n \tag{34}$$

$$\sum_{k=1}^{K} \tau_{k}^{0}[n] + \sum_{k=1}^{K} \tau_{k}^{R}[n] \le \delta_{t}, \forall n$$
 (35)

$$\left\| \boldsymbol{w}_{k} \left[\boldsymbol{n} \right] \right\|^{2} \le p_{v}^{\text{max}}, \forall k, n \tag{36}$$

$$\frac{1}{T} \sum_{n=1}^{N} \sum_{k=1}^{K} \tau_{k}^{R} [n] \| \mathbf{w}_{k} [n] \|^{2} \le p_{u}^{\text{ave}}$$
(37)

$$I_{u,k}^{O}[n] \le I_{a,k}^{R}[n+1] + I_{u,k}^{comp}[n+1], \forall k, n$$
(38)

$$\sum_{k=1}^{K} \underset{l=k}{\text{lcomp}} \left[n \middle| c_{l} \le F_{l}^{\text{max}} \delta_{t} \right] \tag{39}$$

$$\sum_{k=1}^{K} \mathbf{1}_{a,k}^{R} \left[n \middle| c_a \le F_a^{\max} \delta_t \right] \tag{40}$$

2.2 状态空间设计

在时隙 n, 系统状态 $s_n \in S$ 由 UAV 相对于其最终位置的 相对位置 $q[n], \theta_{km}[n], w_k[n]$ 、UAV 的速度V[n], 以及信号传输 的变量 $l_{u,k}^{loc}[n], l_{a,k}^{R}[n], l_{u,k}^{O}[n], \tau_{k}^{R}[n]$ 因此定义 s_{t} 为:

$$s_{t} = \left\{ q[n], V[n], \theta_{k,m}[n], l_{u,k}^{\text{loc}}[n], l_{u,k}^{R}[n], l_{u,k}^{O}[n], \tau_{k}^{R}[n], w_{k}[n] \right\} \quad (41)$$

2.3 动作空间设计

在无人机的自主飞行中, 为了实现高效准确的路径规划, 需要收集所有可能的动作,并且对动作空间进行设置。动作 空间 A 包含了所有可能的动作 a_n ,其中 a_n 可以通过一系列反 射系数 θ_{km} [n]和无人机的加速度 A[n] 来描述。具体地说,动 作 a_n 包括了一组反射系数 $\theta_{km}[n]$, 其中每个反射系数 $\theta_{km}[n]$ 的 取值范围在 [0, 2π) 之间。

2.4 奖励函数设计

在每个时间步长 n, 奖励函数由两部分组成: 通信部分 和到最终位置的距离部分。通信部分由无人机的能量效率决 定,能量效率表达为 $\sum_{n=1}^{N} L[n] - \alpha \sum_{n=1}^{N} E[n]$, α 是一个引入的 辅助参数。L[n] 也常用来表示 UAV 在执行任务时能够接收 到的数据速率,数据速率越高,说明通信效率越高。E[n]表 示无人机执行行动所需要的能量消耗。该项的引入是为了平 衡通信和能量消耗之间的权衡关系。到最终位置的距离部分 由两个参数决定: d_N^{n-1} 和 d_N^n 。分别表示无人机在上一个时间 步长和当前时间步长时与最终位置的距离。这个参数的作用 是鼓励无人机尽快接近最终位置,以减少能量的消耗。

综上,奖励函数的具体计算公式为:

$$r_n = \sum_{n=1}^{N} L[n] - \alpha \sum_{n=1}^{N} E[n] + \varsigma (d_N^{n-1} - d_N^n)$$
 (42)

式中: ç是学习过程中的一个可调参数,作用是调整奖励函数 对通信和距离的重视程度。

2.5 基于 DDPG 模型结构设计

具体的步骤如算法1所示。

算法 1:

随机初始化: critic 网络模型 $Q(s,a|\theta_Q)$ 和 actor 网络模型 $\pi(s|\theta_\pi)$ 构建影子: critic 网络模型 $Q'(s,a|\theta_0')$ 和 actor 网络模型 $\pi'(s|\theta_\pi')$ 初始化经验回放池 D 的大小为 N

For episode=1:M Do

初始化一个随机过程 χ 用于动作探索 即,产生一个随机噪声 \mathcal{N}_t 施加到确定策略输出上; 接受一个初始观测状态 s_1 ;

For t=1:T Do

依据当前策略及探索噪声随机选择一个动作 $a_t = \pi(s_t|\theta_\pi) + \mathcal{N}_t$

执行动作 a_r , 环境反馈即时奖励 r_{t+1} 及新状态 s_{t+1}

添加 transition $(s_t, a_t, r_{t+1}, s_{t+1})$ 到经验回放池 D 中 从 D 中随机选取一小批 transitions $(s_i, a_i, r_{i+1}, s_{i+1})$

计算 Q 参照值,记作 $y_i = r_{i+1} + \gamma Q'(s_{i+1}, \pi'(s_{i+1}|\theta_{\pi'})|\theta_{0'})$

基于均方损失 $\frac{1}{N}\sum_{i}(y_{i}-Q(s_{i},a_{i}|\theta_{0}))^{2}$, 更新 critic 网络参数 θ_{0}

更新 actor 网络模型

$$\begin{split} \nabla_{\theta} J &\approx \mathbb{E}_{s_{t} \sim \rho^{a}} \left[\nabla_{\theta} . Q(s, a | \theta_{Q}) \Big|_{s = s_{t}, a = \pi(s_{t} | \cdot)} \right] \\ &= \mathbb{E}_{s_{t} \sim \rho^{s}} \left[\nabla_{a} Q(s, a | \theta_{Q}) \Big|_{s = s_{t}, a = \pi(s_{t} | \theta_{\cdot})} \nabla_{\theta} . \pi(s_{t} | \theta_{\pi}) \Big|_{s = s_{t}} \right] \\ &\approx \frac{1}{N} \sum_{i} \nabla_{a} Q(s, a | \theta_{Q}) \Big|_{s = s_{t}, a = \pi(s_{t})} \nabla_{\theta} . \pi(s | \theta_{\pi}) \end{split}$$

平稳地更新影子 critic Q 和影子 actor π 的网络模型参数

$$\begin{aligned} \theta_{Q'} &= \tau \theta_Q + (1 - \tau) \theta_{Q'} \\ \theta_{\pi'} &= \tau \theta_{\pi} + (1 - \tau) \theta_{\pi'} \\ &\quad \text{End For} \end{aligned}$$

DDPG 使用 4 个 DNN 来近似值,包括训练 Actor 网络和 训练 Critic 网络, 以及目标 Actor 网络和目标 Critic 网络。通 过使用确定性策略梯度定理来更新参数,并使用目标网络来 防止不稳定的学习。

3 实验设计与结果分析

3.1 实验设计

考虑所有网络节点位于 RIS 反射侧的区域。具体而言, RIS 位于 yoz 平面内, 其坐标为 (0 m, 200 m, 20 m), AP 的坐 标为 (200 m, 400 m, 0 m), UEs 位于 xov 平面内。UAV 的高 度设置为 100 m, 它从初始位置 (100 m, -800 m) 飞行到最终 位置 (800 m, 400 m), 最大速度为 10 m/s, 整个过程的总时长 T为 60 s,每个时隙 δ ,的时间长度为 1 s,UE 的设备个数为 5 个, 天线 / 元件分离间隙分别为 $d = \lambda/4$, $d_x = d_z = \lambda/4$, 反射 元件 M_v 为 10 个, M_z 为 10 个, UAV 天线的数量 L 为 4 个, 通信带宽 B 为 1 MHz, 噪音功率 σ^2 为 -90 dBm, Rician 因子 $\beta_{uk} = \beta_{ua} = \beta_{ra} = 10 \text{ dB}$,路径损耗指数 $\alpha_{uk} = 2.5$, $\alpha_{ua} = 3$, $\alpha_{ra} = 2.3$, UE 的发射功率 P=26 dBm, UAV 峰值功率 $p_{m}^{max}=30 \text{ dBm}$, 平均功率预算 $p_u^{\text{avc}} = 28 \text{ dBm}$,最大 CPU 频率 $F_u^{\text{max}} = 1 \text{ GHz}$, F_a^{max} =15 GHz, 每比特计算的 CPU 周期 $c_y = c_a = 10^3$ cycles/bit, 收 敛精度 $\epsilon=10^3$,最大迭代次数j=50。奖励函数的可调参数c设 置为 0.32, 训练 Actor 网络和训练 Critic 网络的学习率 na和 η_c 为 10^4 , 训练 Actor 网络和训练 Critic 网络的衰减率 τ_a 和 τ_c 设置为 5×10^{-3} , 小批量 N_{batch} 的经验数量为 128, 勘探噪声的 方差 $\sigma_e^2 = 0.2$ 。

设置两个基准实验:

基准实验 1: 该基线将 DDPG 应用于在没有 RIS 的情况 下优化, 称为"无 RIS 的基线"或简单地说"无 RIS"。

基准实验 2: 这个基线使用传统的基于凹凸过程 (CCCP) 算法在给定的 RIS 以及 UAV 配置条件下优化。CCCP 的算法 将公式化问题分解为3个子问题来解决该问题。

3.2 实验结果分析

训练的收敛曲线如图 2 所示。随着无人机控制策略适 应随机生成, 平均奖励逐渐增加每一次任务的目标轨迹。 DDPG 算法在第 417 轮迭代达到最大奖励。基准实验 1 在第 873 轮迭代达到最大奖励, 基准实验 2 在第 1 424 轮迭代达到 最大奖励。

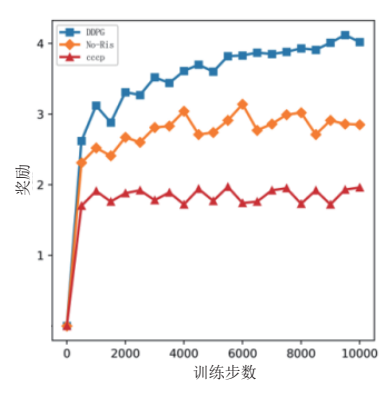


图 2 模型收敛曲线

由于所有涉及的信道的完美和瞬时 CSI 的不现实假设, DDPG 能够快速收敛是由于它的无人机加速度的动作空间大 大更小。

图 3(a)显示了无人机接收数据率与任务结束时到目的 地的完成距离之间的关系。在任务持续时间为 25~40 s 时, 速率和完成距离之间的权衡较好。探索 DDPG 新动作时,目标网络和噪声增加了随机性,导致训练过程不稳定。图 3(b)展示了任务结束时无人机与预期目标之间距离的 CDF,任务持续时间为 40 s。结果表明,随着任务持续时间的增加,DDPG 算法更接近或到达目的地的频率更高,优于没有 RIS 的情况。尽管完美的 CSI 对轨迹规划重要,DDPG 算法通过使用更多 RIS 元素也能产生有效轨迹,但存在过拟合问题,导致策略更新噪声梯度和较低的数据率。

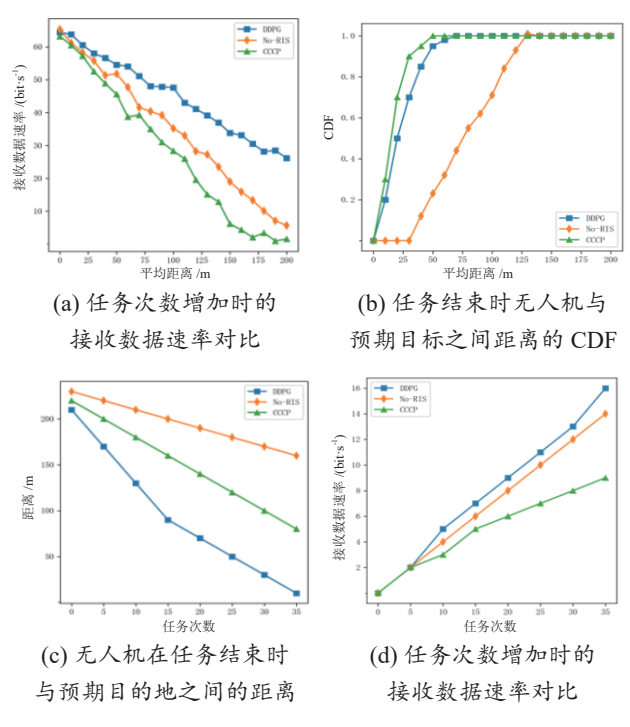


图 3 模型参数变化的性能指标差异

图 3 (c)显示了任务结束时无人机与预期目的地之间的 距离。随着任务持续时间增加,所有算法的距离减小。没有 RIS 时,无人机无法到达预期位置,因为必须接近 BS 以保 持数据率。

图 3(d)显示了任务次数增加时的接收数据速率。所有算法下,接收数据速率随任务持续时间延长而增加,RIS 提高了数据速率。DDPG 算法的数据速率优于基准实验 1,证明了其适应系统变化的能力,特别是对于大量 RIS 元素。

4 结论

本文提出一种基于 DDPG 的 RIS、UAV 和 MEC 的波束赋形优化。通过优化波束形成向量、相移、时隙划分、无人机的轨迹,最大化系统的 EE。实验结果表明基于 DDPG 的方法比传统的 CCCP 算法收敛更快且更稳定。本文提出的基

于 DDPG 网络的 RIS 辅助无人机,在无人机轨迹控制和 RIS 配置方面表现优异,提高了系统的 EE。

参考文献:

- [1] SUN L, WAN L T, WANG X P. Learning-based resource allocation strategy for industrial IoT in UAV-enabled MEC systems[J].IEEE transactions on industrial informatics,2021,17(7):5031-5040.
- [2] LIU Y W, LIU X, MU X D,et al.Reconfigurable intelligent surfaces: principles and opportunities[J].IEEE communications surveys & tutorials, 2021,23(3):1546-1577.
- [3] LIU X, LIU Y W, CHEN Y, et al.RIS enhanced massive non-orthogonal multiple access networks: deployment and passive beamforming design[J].IEEE journal on selected areas in communications,2021,39(4): 1057-1071.
- [4] WU Q Q,ZHANG R.Joint active and passive beamforming optimization for intelligent reflecting surface assisted SWIPT under QoS constraints[J].IEEE journal on selected areas in communications, 2020,38(8):1735-1748.
- [5] WANG J, LIANG YC, JOUNG J,et al.Joint beamforming and reconfigurable intelligent surface design for two-way relay networks[J].IEEE transactions on communications, 2021,69(8):5620–5633.
- [6] LUO J S, WANG F G, WANG S L, et al.Reconfigurable intelligent surface: reflection design against passive eavesdropping[J].IEEE transactions on wireless communications, 2021,20(5):3350-3364.
- [7] PANG X W,SHENG M, ZHAO N, et al.When UAV meets IRS: expanding air-ground networks via passive reflection[J]. IEEE wireless communications,2021, 28(5):164-170.
- [8] LI S X, DUO B,RENZO M D, et al.Robust secure UAV communications with the aid of reconfigurable intelligent surfaces[J].IEEE transactions on wireless communications,2021, 20(10):6402-6417.
- [9] FANG S S, CHEN G J, LI Y H.Joint optimization for secure intelligent reflecting surface assisted UAV networks[J]. IEEE wireless communications letters, 2021,10(2):276-280.
- [10] LIU X, LIU Y W, CHEN Y.Machine learning empowered trajectory and passive Beamforming design in UAV-RIS wireless networks[J].IEEE journal on selected areas in communic ation,2021,39(7):2042-2055.
- [11] WEI Z Q, CAI Y X,SUN Z,et al.Sum-rate maximization for IRS-assisted UAV OFDMA communication systems[J].IEEE transactions on wireless communications, 2021,20(4):2530-2550.
- [12] LU H Q, ZENG Y, JIN S, et al. Aerial intelligent reflecting

基于 STM32 的光伏储能 DC-DC 变换器设计

刘一儒¹ 王 宇¹ 孟丽因¹ LIU Yiru WANG Yu MENG Linan

摘要

为满足光伏储能系统中宽范围输入与稳定输出的电力转换需求,文章设计了一种基于 STM32F103C6T6 的高效光伏储能双向 DC-DC 变换器,采用 Buck-Boost 拓扑和全桥同步整流技术,结合 PID 闭环控制与 MPPT 扰动观察算法,实现了输入 $25\sim50$ V 宽范围、输出 30 V/5 A 的稳定转换。通过优化 IR2184S 驱动 电路,系统效率超过 90%,动态响应速度达 80 μ s,输出电压波动小于 ± 0.03 V。测试结果表明,在负载 变化和输入电压波动条件下,系统电压调整率仅为 0.033%,验证了设计方案的有效性和稳定性,为光 伏储能系统提供了可靠的电力转换解决方案。

关键词

双向直流变换器; 嵌入式系统; PID 算法; 最大功率跟踪

doi: 10.3969/j.issn.1672-9528.2025.08.020

0 引言

随着可再生能源的普及,光伏发电系统在分布式能源领域愈发受瞩目。鉴于 DC-DC 变换器对提升光伏系统能量利用效率与稳定性举足轻重,其设计优化至关重要。本文聚焦基于 STM32 的光伏发电系统 DC-DC 变换器,以 STM-32F103C6T6 单片机为核心,借双向 DC-DC 电路实现电能转换,利用单片机生成的 PWM 信号驱动电路以保障负载电压稳定。设计融入 PID 与 MPPT 算法,依电流、电压反馈达成

1. 辽宁工业大学电子与信息工程学院 辽宁锦州 121000

恒压闭环控制、最大功率点跟踪及电池组充放电管理。经模拟光伏发电实验,系统直流电压输出稳定,效率超90%,通过优化电路与算法,为光伏系统提供了高效可靠方案。

1 总体设计

本系统以 STM32 单片机为核心,构建了基于 PWM 控制的高效 DC-DC 变换器。引入 PID 与 MPPT 算法,实现恒压输出、最大功率点跟踪及电池充放电管理。系统由双向 DC-DC、辅助电源、驱动、电流采样与显示模块组成,在模拟光伏条件下运行稳定、效率超 90%,整体结构如图 1 所示。

- surface: joint placement and passive beamforming design with 3D beam flattening[J].IEEE transactions on wireless communications, 2021,20(7):4128-4143.
- [13] KHALILI A, MONFARED E M, ZARGARI S, et al.Resource management for transmit power minimization in UAV-assisted RIS HetNets supported by dual connectivity[J]. IEEE transactions on wireless communications,2022,21(3): 1806-1822.
- [14] PAN Y J, WANG K Z, PAN C H, et al.UAV-assisted and intelligent reflecting surfaces-supported terahertz communications[J].IEEE wireless communications letters, 2021,10(6):1256-1260.
- [15] HUA M, YANG L X, WU Q Q, C. et al.UAV-assisted intelligent reflecting surface symbiotic radio system[J].IEEE transactions on wireless communications, 2021, 20(9): 5769-5785.

- [16] XU Y, ZHANG T K, LIU Y W, et al. Computation capacity enhancement by joint UAV and RIS design in IoT[J]. IEEE internet of things journal, 2022, 9(20): 20590-20603.
- [17] GE M X, WANG L Y, ZHANG G L, et al. Joint optimization of task offloading and resource allocation in UAV-assisted mec networks[C]//2021 China Automation Congress (CAC). Piscataway:IEEE, 2021: 1879-1884.
- [18] LIU C J, ZHONG Y L, WU R L, et al. Deep reinforcement learning based 3D-trajectory design and task offloading in UAV-enabled MEC system[J]. IEEE transactions on vehicular technology, 2024,74(2):3185-3195.

【作者简介】

高航(2000—),男,辽宁大连人,硕士研究生,研究方向: 无线与移动通信技术。

(收稿日期: 2025-02-28 修回日期: 2025-07-29)